## 2次元ダム破壊流れに関する実験的研究

九州工業大学工学部 正会員 秋山 壽一郎 九州工業大学大学院 学生会員 重枝 未玲 小林 俊彦

## 1.はじめに

ここ数年,集中豪雨による大規模な洪水氾濫がわが国を含む世界各地で頻発し,大きな被害が発生している.洪水被害を軽減するためには,治水施設の整備や流域対策などのハード面での対策を講じることがまず重要であるが,そのような対策には自ずと限界があり,洪水八ザードマップや避難体制の確立などのソフト面での対策をより一層強化する必要がある.そこで,信頼性のある危機管理対策のベースとしての予測精度の高い氾濫シミュレーションモデルがいま強く求められている.

本研究は,信頼に足るドライベッド上の 2 次元洪水氾濫流に関する実験データとして,いまのところ Fraccarollo &  $Toro^{1)}$ による水深に関する実験データしか存在しないことを踏まえ,氾濫シミュレーションモデ

ル<sup>2)</sup>の基本性能を定量的に検証する上で不可欠な実験データを得ることを目的として実施したものである.ここでは氾濫原に物体群が設置されている状況とそうでない状況について水深および流速測定を行なうとともに,物体に働く流体力についても測定を行なった.

## 2.実験装置および方法

実験装置は図-1に示すような貯水槽部(長さ 2.0m,幅 3.0m,高さ 1.0m)と氾濫部(長さ 3.0m,幅 3.0m,高さ 1.0m)より構成される洪水氾濫水槽である.貯水槽部と氾濫部は隔壁で仕切られており,隔壁には水槽左から 0.75mの位置に幅 0.50mの可動ゲートが設けられている.

実験は,構造物を模した角柱群(6×6cm)が設置され

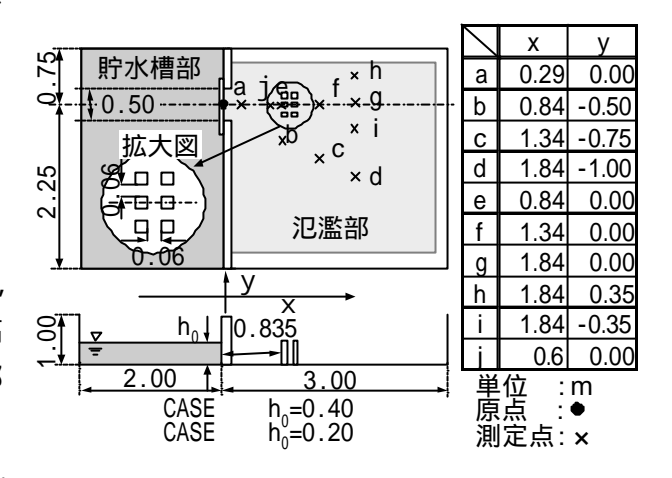


図-1 実験装置および物体群の配置と配列

ていない状態(CASE I)と設置された状態(CASE II)の二通りの実験を行った. いずれの CASE においても氾濫水槽全体は水平に保たれている. なお,物体群の配置と配列は図-1中に示してある.

貯水槽に溜められた水(CASE I では  $h_0$ =0.4m,CASE II では 0.2m)を開放時間  $t_1$ (CASE I では  $t_1$ =0.297s,CASE II では 0.148s)でドライベッド状態の氾濫部にほぼ瞬間的に解放することで,2 次元ダム破壊流れを発生させた.氾濫流の水深 h および表面流速  $V_s$  の測定を以下のような要領で行った.水深測定は,ウラニンで着色した水にレーザースリット光を所定の測点に照射することで水表面を可視化し,CCD カメラで撮影した映像をデジタル VTR に収録し,その画像を解析することで,水深 h を求めた.レーザースリット光の照射位置を移動させ同一条件下で同様な計測を繰り返し,複数の測点での水深の時系列を得た.なお,本方法では0.033s 間隔で水深を求めることができる.一方 流速測定は,直径約 5mm の発砲スチロール球を多数投入し,水深測定と同一地点の流況を撮影・収録し,発砲スチロール球の動きを PTV 画像解析システムで解析することによって流速ベクトルを求めた.同一条件下で繰り返し実験を行い,複数の測点での流速ベクトルの時系列を得た.また,CASE II では 1 列目中央の角柱前面から 0.24m 上流側の測定点 i で,接近流速 i0 を測定するとともに,角柱に働く流体力を i2 分力計で測定した.

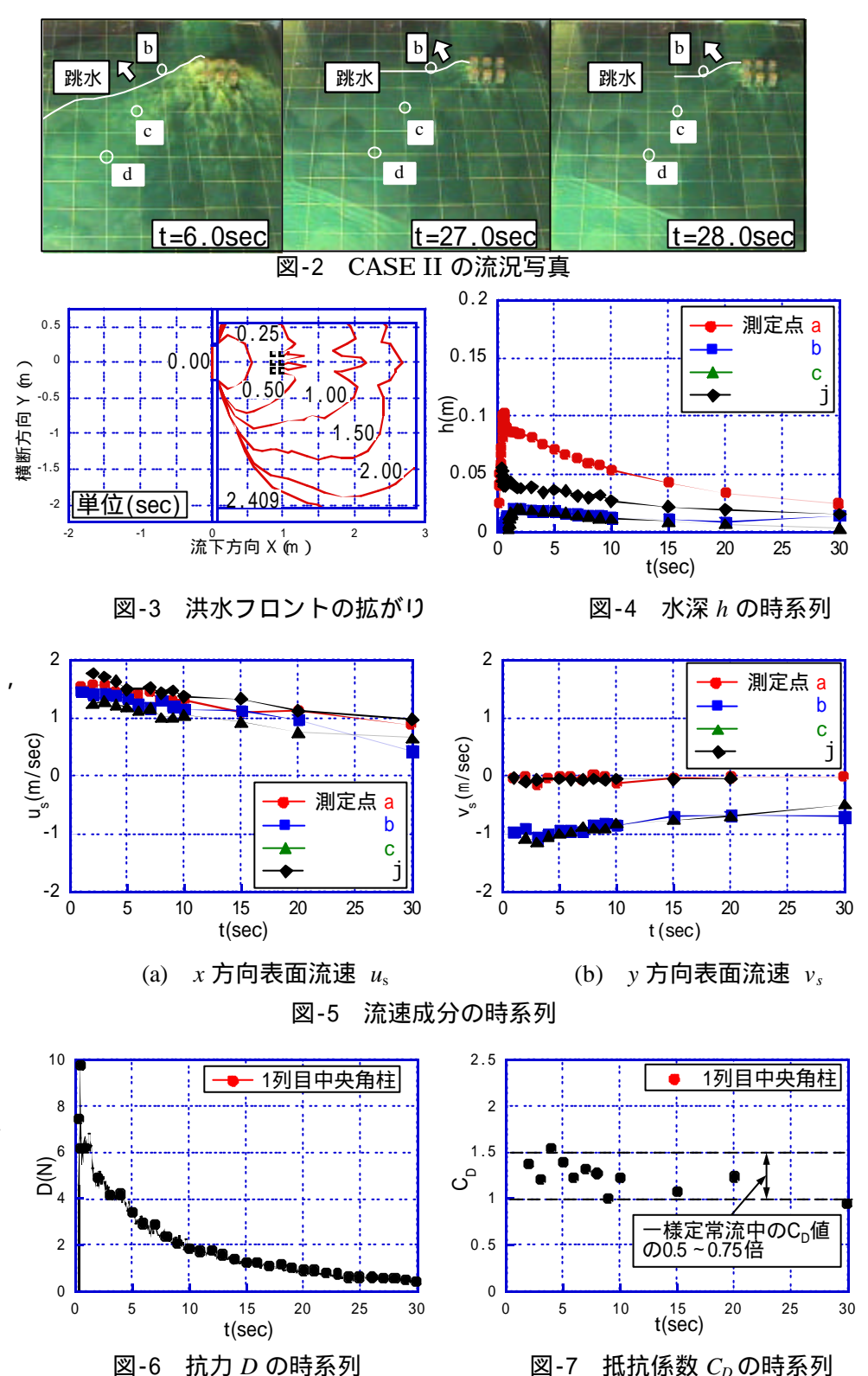
## 3. 実験結果の一例

ここでは CASE II の実験結果のみを示す.また,本研究の目的である検証のための実験データ収集とともに,洪水時における構造物の安全面を議論する上で必要となる物体に働く流体力特性についても検討した.図-2 はダム破壊流れの流況である.これより,物体群の存在により跳水が発生し,その発生位置が時間とと

キーワード: 2次元ダム破壊流れ,流体力,抵抗係数

住所: 北九州市戸畑区仙水町 1-1 九州工業大学工学部 建設社会工学科 水工学研究室 TEL093-884-3125 FAX093-884-3105

もに氾濫部の上流側に移動して いく様子がわかる.図-3は洪水 フロントが拡がっていく様子を 示したものである.物体群によ って分離されたフロントは,角 柱間で加速されるため流下方向 に拡がる傾向が強い.一方,角 柱を回り込みながら進行するフ ロントは横断方向に拡がる傾向 が強いことがわかる.図-4は代 表的な測点における水深の時系 列の一例である.水深はフロン トの到達とともに増大した後、 時間の経過とともに減少するこ とがわかる.ただし,測点bで は前述した跳水の到達により t=20s 以降で増大している .また , 測点が原点から離れるにつれて フロント到達時における水深変 化の割合が小さくなることもわ かる.図-5 は流速成分の時系列 変化を示したものであり、どの 測点においても減速する傾向に ある.1 列目中央の角柱に働く 抗力Dの時系列を示したものが 図-6 である .D は衝撃力的な挙 動をした後,時間とともに緩や かに減少する. 図-7 はD,  $V_{sa}$ , haを用いて求めた抵抗係数  $C_D(=2D/rV_{sa}^2A)$ と経過時間 t と の関係を示したものである.こ こに,r=水の密度 $(N \cdot s^2/m^4)$ , A=投影面積(= $dh_a$ )( $m^2$ ), d=主流 方向に対する角柱の投影幅(m)



である.これより, $C_D$  値は変動しながら,時間とともに若干小さくなることがわかる.また,その値は 1.0 から 1.5 程度であり,一様定常流中における角柱の  $C_D$  値の約  $0.5 \sim 0.75$  倍となる. 4.結論

2 次元ダム破壊流れの水深および流速の実験データを得ることができた.さらに,ダム破壊流れにおける角柱に働く抗力は衝撃力的な挙動を示した後時間とともに減少していくことや角柱の  $C_D$  値は定常状態の約  $0.5 \sim 0.75$  倍になることなどがわかった.今後は数値モデルの地形起伏がある場への適用性について検証するために,水路床勾配がある氾濫部での実験データを収集する予定である.

参考文献:1) Fraccarollo & Toro: J. Hyd. Res., Vol.33, 1995. ; 2)重枝未玲ら,水工学論文集,第 45 巻,2001.